

P15-98-301

А.С.Данагулян<sup>1</sup>, И.Адам<sup>2</sup>, А.Р.Балабекян<sup>1</sup>,  
В.Г.Калинников, В.И.Стегайлов, В.К.Родионов,  
В.И.Фоминых, Яр.Франа<sup>2</sup>

ОБРАЗОВАНИЕ ЛЕГКИХ ЯДЕР  
В РЕАКЦИЯХ ПРОТОНОВ  
С РАЗДЕЛЕННЫМИ ИЗОТОПАМИ ОЛОВА

Направлено в журнал «Ядерная физика»

<sup>1</sup> Ереванский государственный университет  
<sup>2</sup> Институт ядерной физики АН Чехии, Ржек

CERN LIBRARIES, GENEVA

SCAN-9902079



En 9908

1998

## Введение

С момента открытия процесса фрагментации опубликовано значительное количество работ по его исследованию [1]. Однако к настоящему времени по результатам огромного экспериментального материала нет единой теории, объясняющей механизмы образования фрагментов и тонкие эффекты, связанные с нуклонным составом ядер-мишеней и фрагментов, хотя последнему вопросу посвящено много работ [2-5]. Новые теоретические подходы и создание разных моделей в последнем десятилетии [6-8] стимулировали проведение новых сложных экспериментов, в которых регистрируются фрагменты в 4π- геометрии [9-11]. Эти работы в основном проведены с мишенями натурального состава. В части из них рассматриваются процессы термического одновременного разрыва ядра на легкие фрагменты и фрагменты с промежуточными массами ( $3 \leq Z \leq 20$ ) под действием высокоэнергетичных протонов. В другой части этих работ рассматривается происхождение динамических изменений, таких как сжатие и ротация ядерной материи и вследствие их - распад ядра под действием тяжелых высокоэнергетичных ионов. Помимо исследований с прямыми регистрациями фрагментов продолжаются также исследования с регистрацией радиоактивных продуктов, полученных в ядерных реакциях под действием высокоэнергетических частиц [12-13]. Цель настоящей работы - исследовать энергетическую зависимость сечений образования легких ядер-продуктов под действием протонов при разных значениях энергий методом наведенной активности, с тем чтобы получить информацию о механизме их образования, а также исследовать тонкие эффекты, относящиеся к фрагментам, полученным из разделенных изотопов олова.

## Условия эксперимента и результаты

Металлические фольги из обогащенных изотопов олова  $^{112}Sn(92,6\%)$ ,  $^{118}Sn(98,7\%)$   $^{120}Sn(99,6\%)$ ,  $^{124}Sn(95,9\%)$  с толщинами соответственно 390, 61, 70 и 72,7 мг/см<sup>3</sup> облучались на фазotronе ЛЯП ОИЯИ протонами с энергией 660 МэВ в течение 27 и 5 минут и на синхрофазotronе ЛВЭ ОИЯИ протонными пучками с энергиями 1,0 и 8,1 ГэВ в течение 1,0 и 0,6 ч соответственно. Интенсивности пучков составляли  $1,36 \cdot 10^{16}$ ,  $1,19 \cdot 10^{16}$ ,  $4,97 \cdot 10^{12}$  и  $2,27 \cdot 10^{13}$  протон/ч. Для мониторирования пучка была использована реакция  $^{27}Al(p,3pn)^{24}Na$ , значения сечений которой при указанных энергиях соответственно равнялись 10,7, 10,1 и 8,1 мбн. Наведенная в мишениях активность была измерена Ge(Li) и сверхчистыми HpGe-детекторами через некоторое время после облучения. Для выделения долгоживущих продуктов реакций измерения регулярно повторялись в течение одного года. При измерениях, для обеспечения "точечности" источника и оптимальной загрузки электроники, расстояния источник - детектор выбирались равными 160, 26, 15 и 8 см. Предварительная обработка  $\gamma$ -спектров проводилась с помощью компьютерных программ. По характерным  $\gamma$ -линиям с учетом периодов полураспада ядер были выделены легкие ядра-продукты и определены их сечения образования, значения которых приведены в таблице 1 (там же даны типы сечений ядер - продуктов: Н - независимое сечение и К - кумулятивное). Ошибки на величине сечений - статистические.

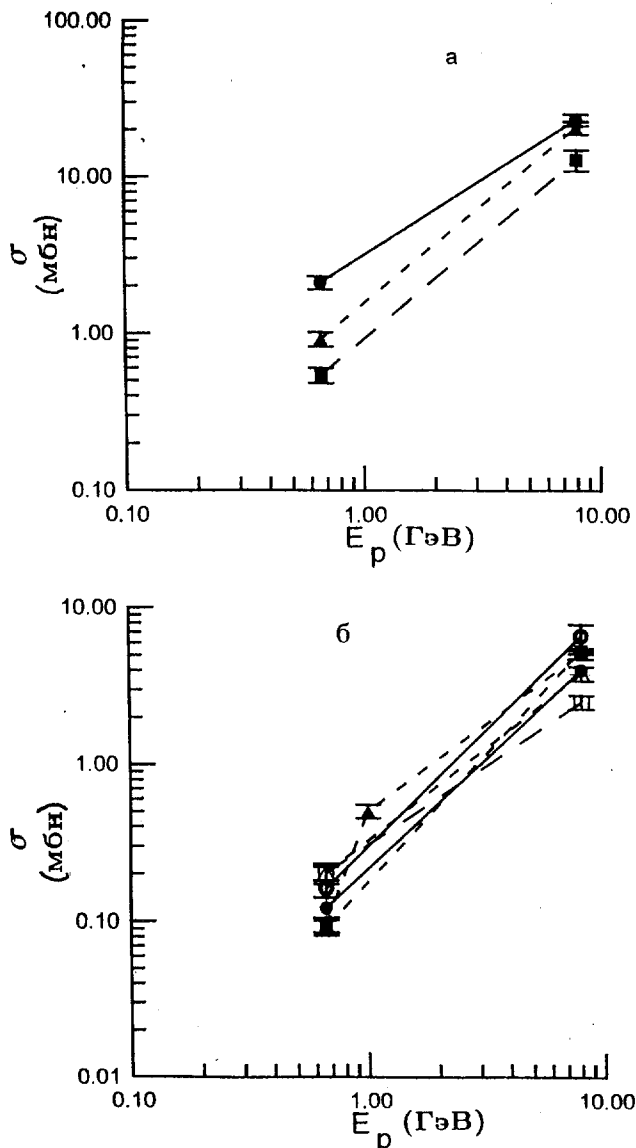


Рисунок 1. Зависимость значений сечений образования фрагментов от энергии протонов ( $E_p$ ) для мишеней  $\bullet, \circ - ^{112}Sn$ ,  $\blacktriangle, \Delta - ^{118}Sn$ ,  $\blacksquare, \square - ^{124}Sn$ ; а) для  $^7Be$  б) светлые точки для  $^{22}Na$ , темные - для  $^{24}Na$ . Кривые показывают рост, а не ход сечений

## Обсуждение экспериментальных результатов

На рисунке 1 приведены зависимости значений сечений от энергии протонов для  $^7Be$ ,  $^{22}Na$  и  $^{24}Na$  из исследуемых мишеней. Из таблицы и рисунка видно, что значения сечения сильно (более чем на порядок) растут с увеличением энергии начальной частицы, что характерно для механизма фрагментации [1]. Изотопы  $^{28}Mg$ ,  $^{38}S$ ,  $^{38}Cl$  и  $^{39}Cl$  не регистрировались при энергиях протонов 0,66 и 1,0 ГэВ и поэтому для них невозможно было получить энергетическую зависимость. При 8,1 ГэВ из мишени  $^{112}Sn$  не регистрировались короткоживущие изотопы  $^{38}Cl$  и  $^{39}Cl$ , т.к.  $\gamma$ -спектр облученной мишени  $^{112}Sn$  был измерен через несколько часов после облучения во избежание большого мертвого времени, а  $\gamma$ -линии  $^{38}S$  не наблюдались в гамма-спектре облученной мишени  $^{112}Sn$ , т.к.  $^{38}S$  сильнонейтронизбыточное ядро и его сечение, по-видимому, мало.

Для мишени  $^{118}Sn$  на рисунке 2 дана зависимость значений сечений от массового числа фрагмента. Кривая получена методом подгонки и соответствует уравнению  $\sigma(A_f) = aA_f^{-\tau}$ , где  $a=1334$ , а  $\tau = 2,10 \pm 0,06$ . Такая же зависимость наблюдается от зарядового числа фрагмента  $\sigma(Z_f) \sim Z_f^{-2,47}$ . Степенную зависимость сечений образования фрагментов от  $Z_f$  и  $A_f$  ряд авторов [8,14,15] объясняет фазовым переходом "жидкость-газ", который происходит при критической температуре горячей ядерной материи, наступающей при облучении ядра - мишени высокоэнергетичной частицей. В работах [14,15] предложен механизм образования фрагментов промежуточных масс вследствие конденсации сильно разогретого нуклонного газа, основываясь на теории конденсации вблизи критической точки [16]. По ана-

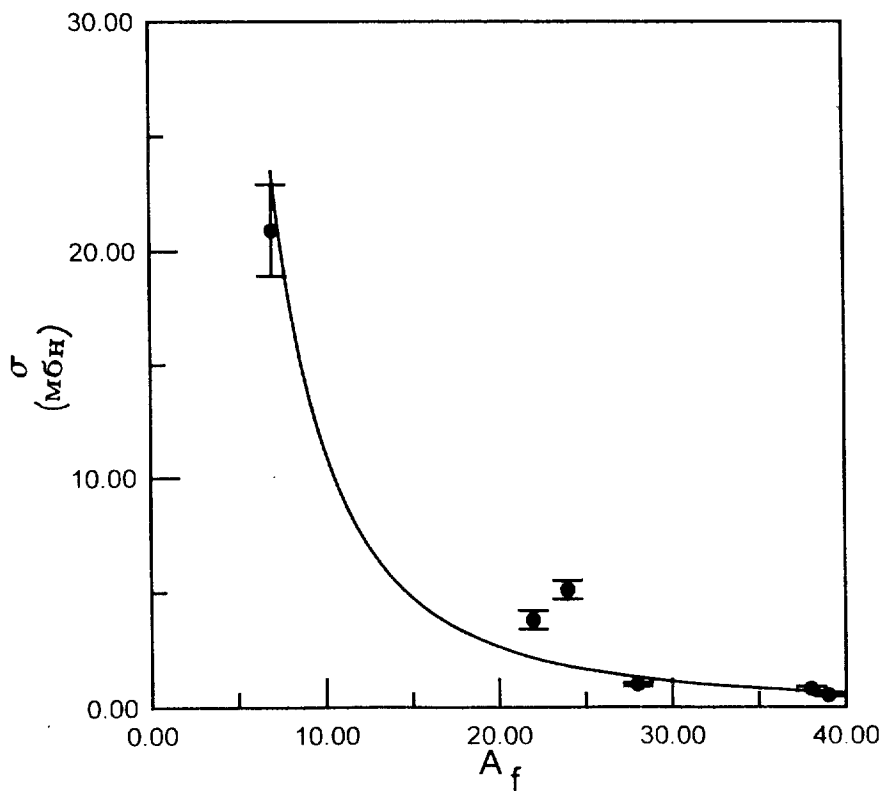


Рисунок 2. Зависимость значений сечений от массового числа фрагментов для мишени  $^{118}Sn$ . Кривая проведена по формуле  $\sigma(A_f) = aA_f^{-\tau}$ ,  $a = 1334$ ,  $\tau = 2, 10 \pm 0, 06$

логии с газом Ван дер Ваальса степенная зависимость сечения образования фрагментов от их массы  $A_f$  или  $Z_f$

$$\sigma(A_f) \sim A_f^{-\tau},$$

где  $\tau = 2 \div 3$ . Здесь  $\sigma(A_f)$  или  $\sigma(Z_f)$  полные изобарические или изотопические сечения. В настоящем эксперименте измерялись только радиоактивные изотопы, вклады сечений образования которых невелики в полных сечениях. Тем не менее для радиоактивных фрагментов наблюда-

ется степенная зависимость с параметром  $\tau$  со значением, близким к тому, что получено в других работах (например, [17]) с прямой регистрацией фрагментов по методике  $\Delta E - E_1 - E_2$  под действием протонов с энергией в области 2,7 - 7,5 ГэВ. Интересно, что в данной работе для  $\tau$  получились разные значения в пределах от 1,55 до 2,1 из разных мишеней олова. Следовательно, можно предполагать, что при энергии протонов 8,1 ГэВ исследуемые нами фрагменты с некоторой вероятностью образуются в процессе мультифрагментации (т.е. одновременного развала ядра - break up).

Нами сделаны расчеты значений сечения фрагментов из всех исследуемых мишеней по модели Бондорф - Ботвины и других при энергии протонов 8,1 ГэВ [18]. Полученные данные приведены в таблице 1. Сравнение расчетных и экспериментальных значений сечений показывает, что есть удовлетворительное согласие между ними для фрагментов с промежуточными массами  $^{24}Na$  и  $^{38}Cl$ , а для легкого фрагмента  $^7Be$  расчетные значения превышают экспериментальные примерно в 5 раз. Для нейтроноизбыточных ядер  $^{28}Mg$  и  $^{39}Cl$  наоборот, расчетные значения в несколько раз меньше по сравнению с экспериментальными. По-видимому, в модели [18] брались высокие энергии возбуждения ( $E^*$ ) промежуточного ядра после прохождения каскада, что увеличивает число легких фрагментов, и не учитывались "тонкие эффекты", связанные с изотоп-эффектом, хотя в расчетах наблюдается правильное направление уменьшения (для  $^7Be$  и  $^{22}Na$ ) и увеличения (для остальных) значений сечения при переходе от  $^{112}Sn$  к  $^{124}Sn$ .

Теперь рассмотрим зависимость сечений исследуемых фрагментов от массового числа мишени  $A_t$ , используя по-

мимо данных, полученных в настоящей работе, также литературные данные. Известно, что эта зависимость сильно меняется с изменением энергии начального протона [1] и остается постоянной в области ограниченной фрагментации ( $E_p > 8 - 10$  ГэВ), поэтому нами использованы данные при энергиях протонов больше 8 ГэВ [19-22]. На рисунке 3 приведена зависимость  $\sigma$  от  $A_t$  для нейтроноизбыточных фрагментов  $^{24}Na$ ,  $^{28}Mg$ . Там же дана зависимость третьей проекции изоспина мишени  $T_{3t}/A_t$  от  $A_t$  (на графике поставлено  $3T_{3t}/A_t$ , для ясности картины). Из рисунка видно сходство структур зависимостей, что говорит о корреляции сечений с величиной  $T_{3t}/A_t$  и следовательно о зависимости  $\sigma$  от  $T_t$  - изоспина мишени. Та же тонкая структура наблюдается и для фрагментов  $^7Be$  и  $^{22}Na$  (рис.4). Для нейтроноизбыточных ядер-остатков наблюдается также в общих чертах рост сечений при увеличении  $A_t$  - мишени (рис.3). Для нейтронодефицитного ядра  $^7Be$  и для  $^{22}Na$ , число нейтронов которого равно числу протонов ( $T_{3t} = 0$ ) при переходе от мишени  $^{112}Sn$  к  $^{124}Sn$  значения сечений уменьшаются (см. таблицу и рис. 4).

На рисунках 3 и 4 приведены также зависимости фотовыхходов от  $A_t$  для  $^{24}Na$  и  $^7Be$ , полученные при максимальной энергии тормозного спектра  $E_{\gamma max}=4,5$  ГэВ [23-24]. Как видно, здесь тоже есть структура и её различие, по-видимому, связано с отсутствием данных по некоторым мишениям. Это говорит о том, что явление изоэффекта не зависит от сорта первичной частицы.

Для изучения механизма образования фрагментов нами рассмотрена зависимость сечения образования этих фрагментов от суммы энергии отделения фрагмента и эффективного кулоновского барьера  $Q_f + B_f$ . В настоящей работе энергия отделения фрагментов определялась двумя способо-

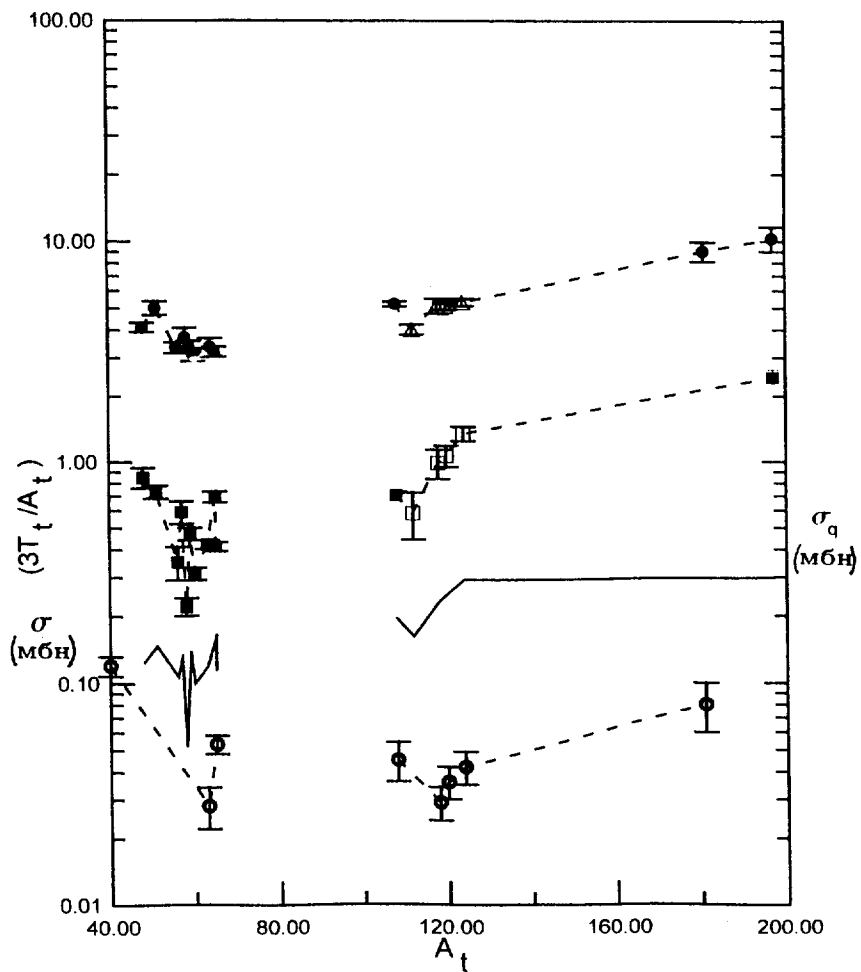


Рисунок 3. Зависимость значений сечений нейтроноизбыточных фрагментов от массового числа мишеней  $A_t$ .  $\bullet, \Delta - {}^{24}Na$ ,  $\blacksquare, \square - {}^{28}Mg$ , экспериментальные точки взяты из работ [19-21], светлые точки - настоящая работа;  $\circ$  -  ${}^{24}Na$  для фотоядерных реакций [23,24] (шкала с правой стороны); сплошная кривая - зависимость  $3T_{3t}/A_t$  от  $A_t$

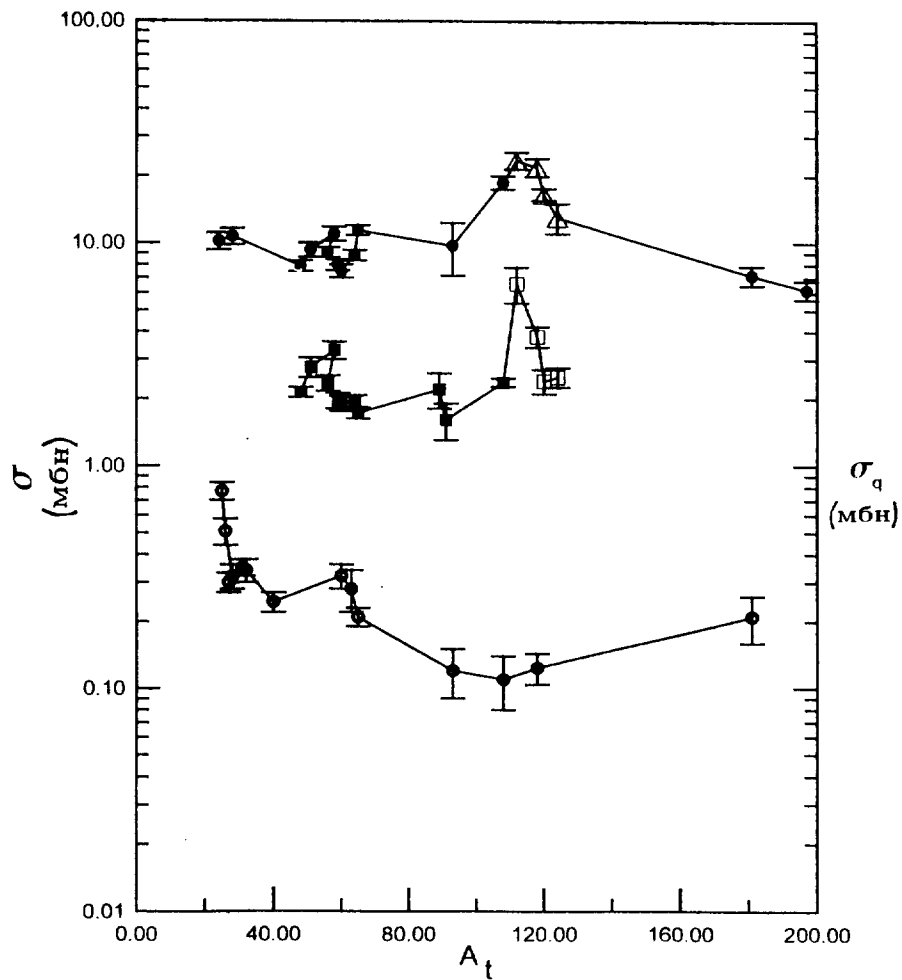


Рисунок 4. Зависимость значений сечений нейтронодефицитных фрагментов от массового числа мишеней  $A_t$ . ●,  $\Delta$  –  ${}^7Be$ , ■, □ –  ${}^{22}Na$ ; экспериментальные точки взяты из работ [19–21], светлые точки – настоящая работа; ○ –  ${}^7Be$  для фотоядерных реакций [23,24] (шкала с правой стороны)

Таблица 1. Значения сечений

Ядро- продукт	Тип сечения	$^{112}Sn$		$^{118}Sn$	
		$\sigma$ [мбн]	расч.[18]	$\sigma$ [мбн]	расч.[18]
$^7Be$	H	$0.66\Gamma_{\text{эВ}}$	$8.1\Gamma_{\text{эВ}}$	$0.66\Gamma_{\text{эВ}}$	$1.0\Gamma_{\text{эВ}}$
$^{22}Na$	K	$2.10 \pm 0.20$	$23.50 \pm 2.00$	$111.03$	$0.92 \pm 0.10$
$^{24}Na$	K	$0.16 \pm 0.02$	$6.60 \pm 1.20$	$13.25$	$0.20 \pm 0.02$
$^{28}Mg$	K	$0.12 \pm 0.02$	$4.00 \pm 0.20$	$5.16$	$0.09 \pm 0.01$
$^{38}S$	K	-	$0.58 \pm 0.14$	$0.09$	-
$^{38}Cl$	H	-	-	-	-
$^{39}Cl$	K	-	-	$0.35$	-

Таблица 1.(продолжение) Значения сечений

Ядро- продукт	Тип сечения	$^{120}Sn$		$^{124}Sn$	
		$\sigma$ [мбн]	расч.[18]	$\sigma$ [мбн]	расч.[18]
$^7Be$	H	$16.50 \pm 1.00$	$74.16$	$0.66\Gamma_{\text{эВ}}$	$8.1\Gamma_{\text{эВ}}$
$^{22}Na$	K	$2.40 \pm 0.30$	$9.2$	$0.20 \pm 0.03$	$2.50 \pm 0.25$
$^{24}Na$	K	$5.10 \pm 0.20$	$6.0$	$0.09 \pm 0.01$	$5.30 \pm 0.20$
$^{28}Mg$	K	$1.06 \pm 0.12$	$0.20$	-	$1.34 \pm 0.10$
$^{38}S$	K	$0.17 \pm 0.07$	-	-	$0.40 \pm 0.15$
$^{38}Cl$	H	$1.36 \pm 0.15$	$0.91$	-	$1.35 \pm 0.15$
$^{39}Cl$	K	$0.63 \pm 0.10$	$0.3$	-	$0.85 \pm 0.20$

бами: а) с использованием экспериментальных значений  $Q_{gg} = M(A_f, Z_f) + M(A_{\text{ост.}}, Z_{\text{ост.}}) - M(A_t, Z_t)$ , где значения масс фрагментов, ядер-остатков и мишней брались из работы [25]; б) с использованием жидкокапельной модели  $Q_{ld} = M_{ld}(A_f, Z_f) + M_{ld}(A_{\text{ост.}}, Z_{\text{ост.}}) - M_{ld}(A_t, Z_t)$ , в которой энергия связи вычисляется по формуле [5]

$$E_{\text{св}} = \varepsilon_{is} A + \varepsilon_{iv} T_3^2 A^{-1} - 0,71 Z^2 A^{-1/3},$$

где  $\varepsilon_{is} = 15,68(1-1,184A^{-1/3})$ ,  $\varepsilon_{iv} = -112,4(1-1,184A^{1/3})$  и  $T_3 = (N - Z)/2$ , а эффективный кулоновский барьер  $B_f = 0,55Z_f Z_{\text{ост.}} e^2 / (R_f + R_{\text{ост.}})$ ,  $R = r_0 A^{1/3}$  и  $r_0 = 1,44 \cdot 10^{-13} \text{ см}$ .

Используя литературные данные для фрагментов  ${}^7Be$ ,  ${}^{22}Na$ ,  ${}^{24}Na$ ,  ${}^{28}Mg$  в массовой области мишней от 48 до 197, нами исследуется зависимость значений сечений, полученных при  $E_p > 8 \text{ ГэВ}$  от  $Q_f + B_f$ . На рисунке 5а и 5б приведены зависимости сечения от  $Q_{ld} + B_f$  и  $Q_{gg} + B_f$  для  ${}^{28}Mg$ . Как следует из рисунка, между сечением и  $Q_{ld} + B_f$  наблюдается зависимость, близкая к экспоненциальной. Такая зависимость наблюдается и для изотопов  ${}^7Be$ ,  ${}^{22}Na$ ,  ${}^{24}Na$  (для  ${}^7Be$  параметр  $a$  берется в виде  $A_t^a$ ), однако разброс экспериментальных точек больший, чем для  ${}^{28}Mg$  (рис.6). Подгонка экспериментальных данных по формуле  $\sigma = a \exp(-(Q_f + B_f)/T)$  дает возможность определить параметры  $a$  и  $T$ . Результаты приведены в табл. 2 ( $T$  связан с температурой системы, распадающейся на фрагменты). Как видно из таблицы, все значения  $T \geq 20 \text{ МэВ}$ , т.е. выше ожидаемых температур системы, которая образуется после прохождения каскада при облучении мишени протонами с энергией  $\geq 8 \text{ ГэВ}$ . Надо отметить, что в протон-ядерных [26] ( $E_p = 1 \text{ ГэВ}$ ) и в фо-

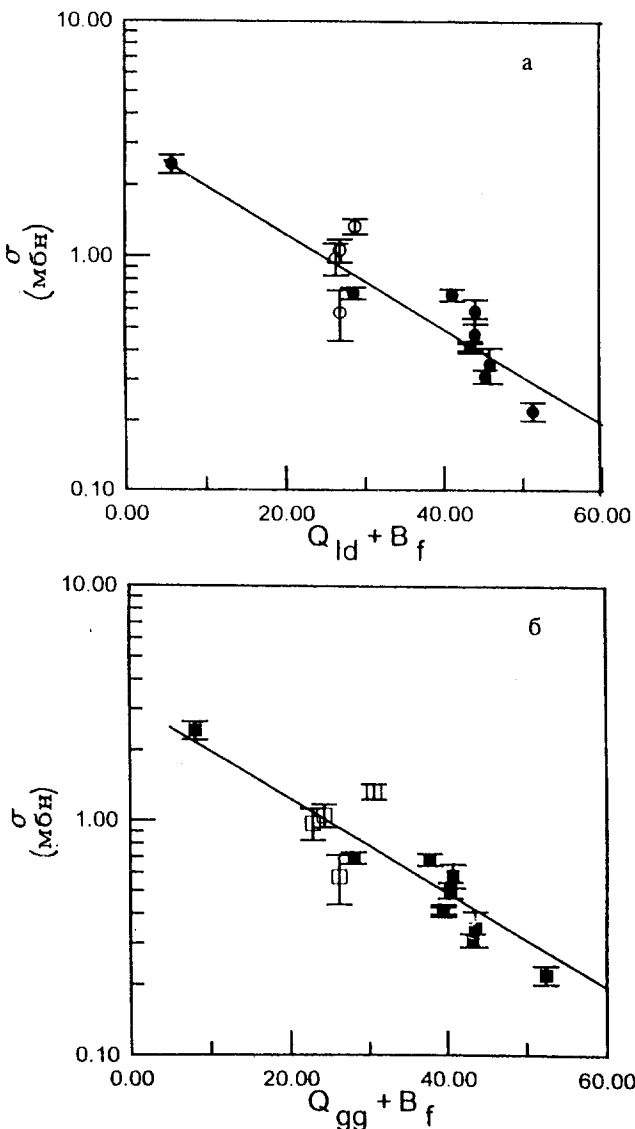


Рисунок 5. Зависимость сечения образования  $^{28}Mg$  от а)  $Q_{Id} + B_f$ , б)  $Q_{gg} + B_f$ . Экспериментальные точки взяты из работ [19-21], светлые точки - настоящая работа. Кривые проведены по формуле  $\sigma = a \exp(-(Q_f + B_f)/T)$

тоядерных [27] ( $E_{\gamma max} = 4,5 \text{ГэВ}$ ) реакциях, как считают авторы этих работ, при образовании  ${}^7Be$  для  $T$  также были получены большие значения. Как видно из рис.6 и табл. 2, для фрагментов  ${}^7Be$ ,  ${}^{22}Na$ ,  ${}^{24}Na$  лучшее согласие с экспериментальными данными получается при расчете энергии отделения жидкокапельной моделью. Это означает нечувствительность сечений к флуктуациям энергии отделения, обусловленным оболочечными эффектами в энергии связи ядер. На рисунках 5 и 6 виден разброс данных, отражающий зависимость сечений реакции от нуклонного состава мишени и фрагментов (см. также таблицу 1). Нами сделана попытка в экспоненциальную зависимость  $\sigma$  добавить член в виде  $T_{3f}T_{3t}$ , чтобы учитывать влияние изоспинов [5] на вероятность реакции. Однако результаты получились неудовлетворительными.

Авторы выражают благодарность В.М.Цупко - Ситникову, В.С.Пронских, А.Н.Приемышеву и К.В.Каляпкину за участие в измерениях гамма-спектров, Г.С.Айвазян и Л.Г.Мартиросян за участие в обработке, персоналу фазotronа и синхроциклотрона за обеспечение хороших параметров пучка во время облучения мишеней. Один из авторов (Данагулян А.С.) благодарит Министерство науки и высшего образования Республики Армении за финансовую поддержку, а также дирекции Лаборатории ядерных проблем и Объединенного института ядерных исследований за предоставленную возможность выполнения эксперимента в ОИЯИ.

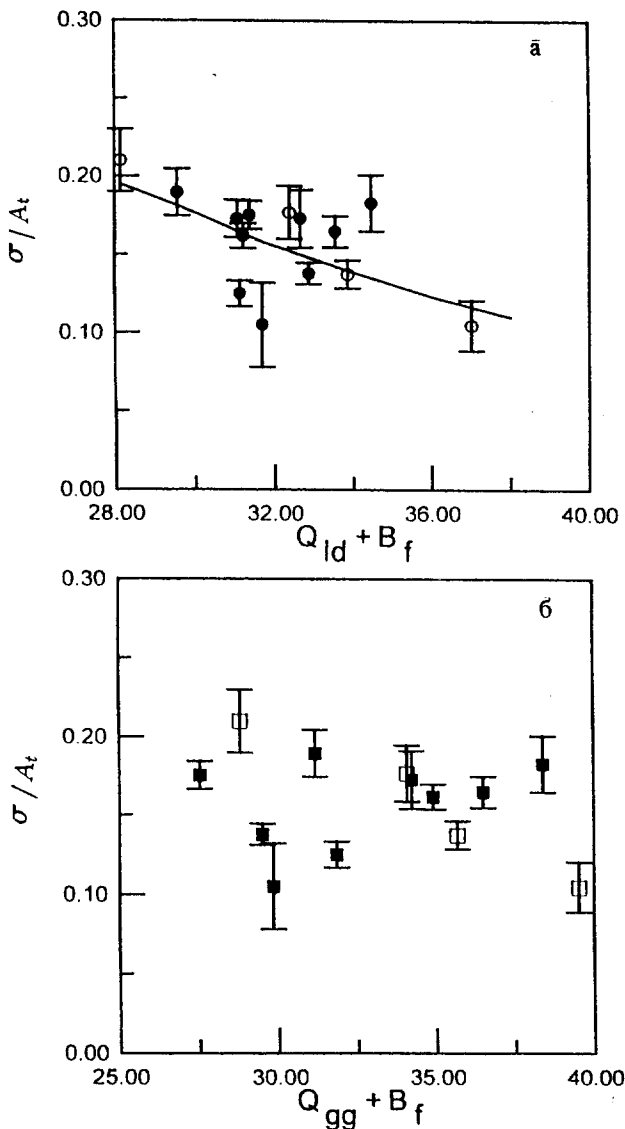


Рисунок 6. Зависимость сечения образования  ${}^7Be$  от а)  $Q_{ld} + B_f$ , б)  $Q_{gg} + B_f$ . Экспериментальные точки взяты из работ [19-21], светлые точки - настоящая работа. Кривая проведена по формуле  $\sigma = A_t^a \exp(-(Q_{ld} + B_f)/T)$

Таблица 2. Значения параметров  $a$  и  $T$

Ядро-продукт	$Q_{lu} + B_f$			$Q_{gg} + B_f$		
	$a$	$T$	$\chi^2$	$a$	$T$	$\chi^2$
$^7Be$	$0.93 \pm 0.05$	$20.90 \pm 3.03$	$61.13/13$	$0.69 \pm 0.03$	$59.83 \pm 15.40$	$81.80/14$
$^{22}Na$	$14.14 \pm 6.53$	$19.98 \pm 4.79$	$58.45/12$	$3.25 \pm 0.53$	$86.88 \pm 33.30$	$72.69/12$
$^{24}Na$	$15.65 \pm 1.25$	$25.24 \pm 1.58$	$74.60/16$	$9.64 \pm 0.66$	$40.42 \pm 3.46$	$144.10/15$
$^{28}Mg$	$3.17 \pm 0.39$	$21.54 \pm 1.41$	$99.13/11$	$3.48 \pm 0.28$	$19.30 \pm 0.80$	$165.50/16$

## Литература

1. *Барашенков В.С., Тонеев В.Д.* Взаимодействия высокоэнергетических частиц и атомных ядер с ядрами. Москва, 1972г. с.530.
2. *Богатин В.И. и др.* ЯФ, 1974, т.19, с.32, т.17, с.9.
3. *Bogatin V.I. et al.* Nucl. Phys. A260, 1976, 446.
4. *Яковлев Ю.П.* ЭЧАЯ, 1983, т.14, вып.6, с.1285.
5. *Яковлев Ю.П.* ЯФ, 1987, т.46, с.459.
6. *Gross D.H.E.* Rep. Progr. Phys. 1990, v.53, p.605.
7. *Morretto D. and Wozniak G.J.* Ann. Rev. Nucl. Part. Scr., 1993, v.43, p.37.
8. *Bandorf J.P., Botvina A.S., Iljinov A.S., Mishustin I.N., Sneppen K.* Phys. Reports, 1995, v.257, p.133.
9. *Lips V., Barth R., Avdeyev S.P. et al.* Phys.Rev.Lett. 1994, v.72, p.1604.  
*Avdeyev S.P., Karnaukhov V.A. et al.* Nucl.Phys. 1998.
10. *Pienkowski L. et al.* Phys.Lett. 1994, B336, p.147.
11. *Schüttauf A., Kunze W.D. et al.* Nucl. Phys, 1996, A607, p.457.
12. *Wölfe R. and Qaim S.M.* Radiochimica Acta, 1990, v.50, p.185.  
*Dittrich B., Herpers U. et al* Radiochimica Acta 1990, v.50, p.11.
13. *Bardayan D.W. et al.* Phys.Rev. 1997, v.C55, p.820.
14. *Hirsh A.S. et al.* Phys. Rev. 1984, v.C29, p.508.
15. *Pangiotou A.D., Curtin M.W., Scott D.K.* Phys. Rev. 1985, v.C31, p.55.
16. *Fisher M.E.* Physics (N.Y.) 1967, v.3, p.255.
17. *Авдейчиков В.В. и др.* ЯФ, 1988. т.48, с.1736.
18. *Botvina A.S. et al.* Nucl. Phys. 1995, A584. p.737.

19. *Noguchi M. et al.* Phys. Rev. 1988, v.C38, p.1811.  
*Asano T. et al.* Phys. Rev. 1983, v.C28, 1718.  
*Tominaka T. et al.* Nucl. Phys. 1984, v.A414, p.385.
20. *Porile N.T., Cole G.D., Rudy C.R.* Phys. Rev. 1979, v.C19, p.2288.
21. *Raisleek G.M. et al.* Phys. Rev. 1975, v.C12, p.527.
22. *Katcoff S. et al.* Phys. Rev. Lett. 1973, v.30, p.1221.
23. *Аракелян А.А. и др.* ЯФ, 1985, т.41, с.833; ЯФ 1990, т.52, с.319.
24. *Амроян К.А. и др.* Препринт ЕрФИ - 1193(70) - 89.
25. *Audi G., Wapstra A.H.* Nucl. Phys. 1993, v.A565, 1, p22.
26. *Батист Л.Х. и др.* Препринт ЛИЯФ, 1983, 861.
27. *Аракелян А.А. и др.* Тезисы докладов 39-го совещания по ядерной спектроскопии и структуре ядра, 1989, с.319.

Рукопись поступила в издательский отдел  
21 октября 1998 года.

Данагулян А.С. и др.

P15-98-301

Образование легких ядер в реакциях протонов  
с разделенными изотопами олова

Методом наведенной активности измерены сечения образования ядер  $^7\text{Be}$ ,  $^{22}\text{Na}$ ,  $^{24}\text{Na}$ ,  $^{28}\text{Mg}$ ,  $^{38}\text{S}$ ,  $^{38}\text{Cl}$  и  $^{39}\text{Cl}$  при облучении мишней  $^{112}\text{Sn}$ ,  $^{118}\text{Sn}$ ,  $^{120}\text{Sn}$  и  $^{124}\text{Sn}$  протонами с энергиями 0,66, 1,0 и 8,1 ГэВ. При анализе экспериментальных данных установлено, что эти ядра образуются в процессе фрагментации и что существует степенная зависимость сечений реакции от массового и зарядового числа фрагментов. Наблюдается сильная зависимость сечения реакций от нуклонного состава мишней и продуктов. Измеренные значения сечений совместно с имеющимися в литературе данными обсуждаются в рамках различных предположений.

Работа выполнена в Лаборатории ядерных проблем ОИЯИ.

Препринт Объединенного института ядерных исследований. Дубна, 1998

Перевод авторов

Danagulyan A.S. et al.

P15-98-301

Formation of Light Nuclei in the Reactions  
of Protons with Separated Tin Isotopes

The cross-sections of reactions of formation of light nuclei on separated  $^{112}\text{Sn}$ ,  $^{118}\text{Sn}$ ,  $^{120}\text{Sn}$  and  $^{124}\text{Sn}$  isotopes are determined at proton energy of 0.6, 1.0 and 8.1 GeV by the induced activity methods. The energy dependence of cross-sections is observed. The fragmentation formation of light nuclei is discussed.

The investigation has been performed at the Laboratory of Nuclear Problems, JINR.

Редактор Е.Ю.Шаталова. Макет Н.А.Киселевой

Подписано в печать 03.11.98

Формат 60×90/16. Офсетная печать. Уч.-изд. листов 1,58  
Тираж 285. Заказ 50987. Цена 1 р. 90 к.

Издательский отдел Объединенного института ядерных исследований  
Дубна Московской области